### Méthode des éléments finis Formulation intégrale du problème modèle de la barre

Prof. F. Gallaire

#### Rappel: Equivalence des formulations forte et faible

- Forme forte ⇒ forme faible
  - Rappel de la formulation <u>forte</u>

$$-EA (d^{2}u/dx^{2}) = q \quad dans \ ]0, \ell[$$

$$u(0) = 0$$

$$EA (du/dx)|_{x=\ell} = P$$

Forme intégrale pondérée

$$0 = \int_0^\ell [EA (d^2u/dx^2) + q] \, \delta u \, dx \quad \forall \, \delta u \in V$$

30/09/2020 -34-

#### Rappel: Equivalence des formulations forte et faible

Intégration par parties

$$0 = \int_0^{\ell} EA \left( \frac{du}{dx} \right) \left( \frac{d\delta u}{dx} \right) dx$$
$$- \left[ EA \left( \frac{du}{dx} \right) \delta u \right]_0^{\ell} - \int_0^{\ell} q \, \delta u \, dx \quad \forall \, \delta u \in V$$

Prise en compte des conditions aux limites et du caractère cinématiquement admissible du déplacement virtuel

$$u \in U: \int_0^\ell EA \ (du/dx) \ (d\delta u/dx) \ dx - P \ \delta u(\ell)$$

$$= \int_0^\ell q \ \delta u \ dx \quad \forall \ \delta u \in V$$

$$\Rightarrow \text{ forme faible}$$

#### Rappel: Formulation faible approchée

Approximation des déplacements axiaux réel et virtuel

$$u \approx u^h \in U^h \subset U$$
  $\delta u \approx \delta u^h \in V^h \subset V$ 

Forme faible approchée

$$u^{h} \in U^{h}: \int_{0}^{\ell} EA \left( \frac{du^{h}}{dx} \right) \left( \frac{d\delta u^{h}}{dx} \right) dx$$

$$= P \delta u^{h}(\ell) + \int_{0}^{\ell} q \delta u^{h} dx \quad \forall \delta u^{h} \in V^{h}$$

• Choix de n fonctions de forme linéairement indépendantes, constituant une base du sous-espace  $U^h$  de dimension n

$$h_i(x)$$
  $(i = 1, 2, ..., n)$ 

Approximation de Galerkin

$$u^h(x) = \sum_{i=1}^n \alpha_i h_i(x) = \mathbf{H}(x) \mathbf{\alpha}$$

$$\mathbf{H} = [h_1, h_2, ..., h_i, ..., h_n] \quad \text{matrice } (1 \times n) \text{ des fonctions de forme}$$

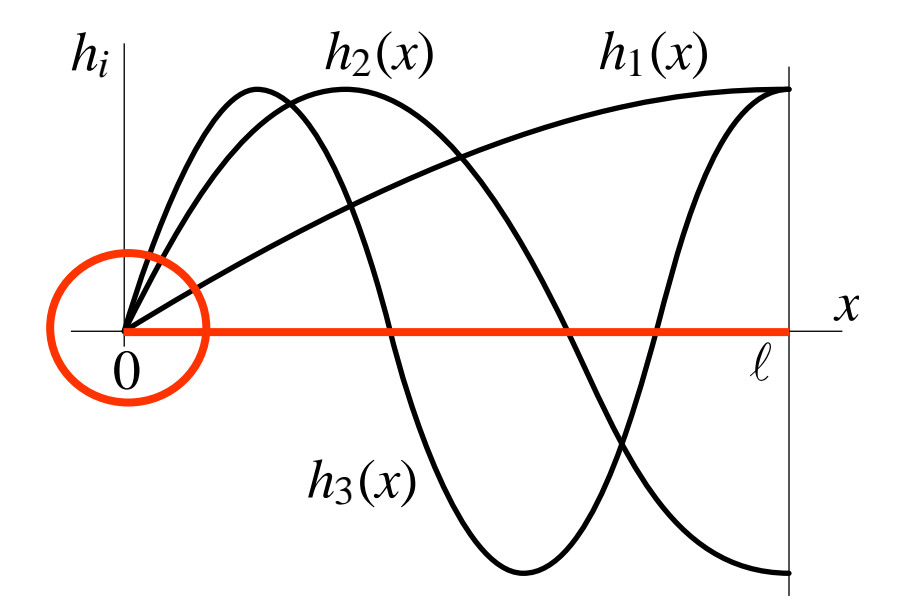
$$\mathbf{\alpha} = \{\alpha_1, \alpha_2, ..., \alpha_i, ..., \alpha_n\}^T \quad \text{vecteur } (n \times 1) \text{ des inconnues}$$

$$\delta u^h(x) = \sum_{i=1}^n \delta \alpha_i h_i(x) = \mathbf{H}(x) \delta \alpha$$



Même forme d'approximation pour  $u^h$  et  $\delta u^h$ 

Caractérisation des fonctions de forme



Fonctions  $h_i(x)$  (i=1, 2, ..., n) définies globalement sur le domaine  $[0, \ell]$  et respectant la condition aux limites essentielle

30/09/2020 -38-

Insertion de l'approximation dans la forme faible approchée

$$\int_{0}^{\ell} EA \left[ d(\mathbf{H} \, \delta \mathbf{\alpha})^{\mathrm{T}} / \mathrm{d}x \right] \left[ d(\mathbf{H} \, \mathbf{\alpha}) / \mathrm{d}x \right] \, \mathrm{d}x$$

$$= \left[ \mathbf{H}(\ell) \, \delta \mathbf{\alpha} \right]^{\mathrm{T}} P \, + \, \int_{0}^{\ell} \left[ \mathbf{H} \, \delta \mathbf{\alpha} \right]^{\mathrm{T}} q \, \mathrm{d}x \quad \forall \, \delta \mathbf{\alpha}$$

$$\Rightarrow \delta \mathbf{\alpha}^{\mathrm{T}} \left[ \int_{0}^{\ell} EA \left( d\mathbf{H}^{\mathrm{T}} / dx \right) \left( d\mathbf{H} / dx \right) dx \cdot \mathbf{\alpha} \right]$$
matrice de rigidité  $\mathbf{K}$ 

$$- \left[ \mathbf{H}^{\mathrm{T}}(\ell) P + \int_{0}^{\ell} \mathbf{H}^{\mathrm{T}} q dx \right] = 0 \quad \forall \ \delta \mathbf{\alpha}$$

 $\Rightarrow \delta \mathbf{\alpha}^{\mathrm{T}} (\mathbf{K} \, \mathbf{\alpha} \, - \, \mathbf{r}) \, = \, 0 \quad \forall \, \delta \mathbf{\alpha}$  vecteur des forces appliquées  $\mathbf{r}$ 

Forme faible discrète

$$\mathbf{K} \alpha = \mathbf{r}$$

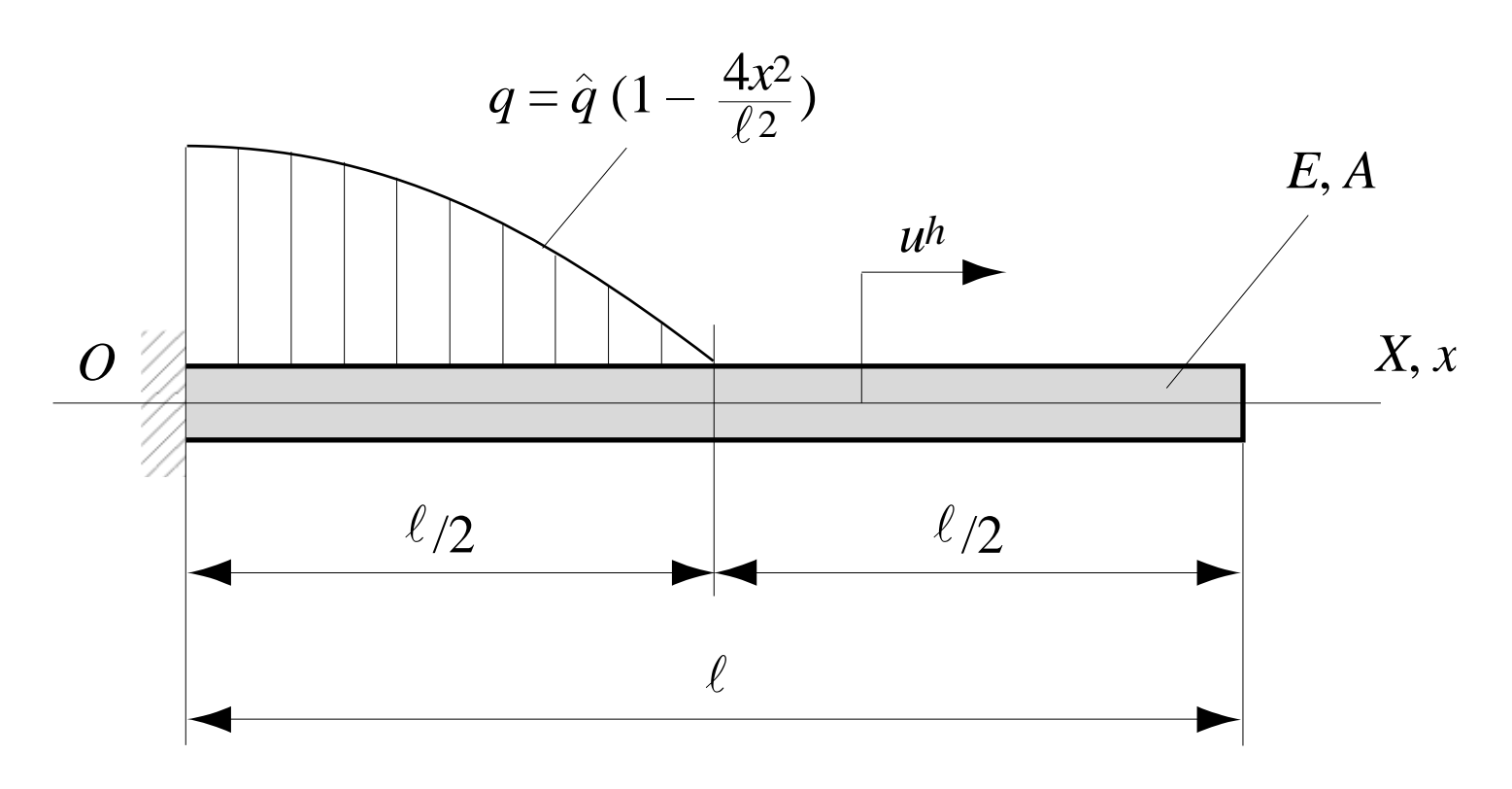
$$\mathbf{K} = \int_0^\ell EA \left( d\mathbf{H}^T / dx \right) \left( d\mathbf{H} / dx \right) dx \quad \text{matrice de rigidité}$$

$$= \int_0^\ell EA \, \mathbf{B}^T \mathbf{B} \, dx$$

$$\mathbf{r} = \mathbf{H}^T(\ell) \, P + \int_0^\ell \mathbf{H}^T \, q \, dx \quad \text{vecteur des forces appliquées}$$

$$\mathbf{B} = \mathrm{d}\mathbf{H}/\mathrm{d}x$$
 matrice-déformation ou de passage des déplacements aux déformations

-40-



Barre prismatique soumise à une charge répartie

-41-

Adaptation de la formulation faible approchée

$$u^{h} \in U^{h}: \int_{0}^{\ell} EA \left( \frac{du^{h}}{dx} \right) \left( \frac{d\delta u^{h}}{dx} \right) dx$$

$$= \int_{0}^{\ell/2} \hat{q} \left[ 1 - \frac{4x^{2}}{\ell^{2}} \right] \delta u^{h} dx \quad \forall \ \delta u^{h} \in V^{h}$$

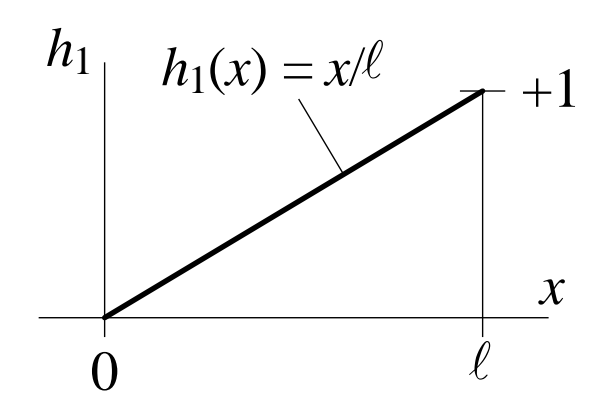
 Approximation à deux termes des déplacements réel et virtuel par la méthode de <u>Galerkin</u>

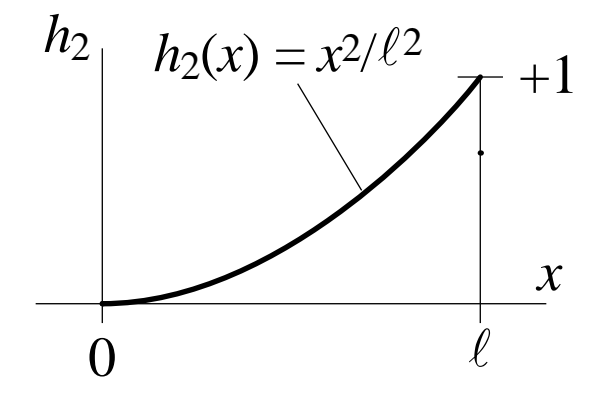
$$u^{h}(x) = \alpha_{1} h_{1}(x) + \alpha_{2} h_{2}(x)$$
  
$$\delta u^{h}(x) = \delta \alpha_{1} h_{1}(x) + \delta \alpha_{2} h_{2}(x)$$

Choix des fonctions d'approximation

$$h_1(x) = x/\ell \qquad (\mathrm{d}h_1/\mathrm{d}x = 1/\ell)$$

$$h_2(x) = x^2/\ell^2 \quad (dh_2/dx = 2x/\ell^2)$$







Respect de la condition aux limites essentielle en x=0

-43-

Calcul de la matrice de rigidité K

$$k_{11} = \int_{0}^{\ell} EA \, (dh_{1}/dx)^{2} \, dx = \int_{0}^{\ell} \frac{EA}{\ell^{2}} \, dx = EA/\ell$$

$$k_{12} = k_{21} = \int_{0}^{\ell} EA \, (dh_{1}/dx) \, (dh_{2}/dx) \, dx$$

$$= \int_{0}^{\ell} EA \, \frac{2x}{\ell^{3}} \, dx = EA/\ell$$

$$k_{22} = \int_{0}^{\ell} EA \, (dh_{2}/dx)^{2} \, dx = \int_{0}^{\ell} EA \, \frac{4x^{2}}{\ell^{4}} \, dx = 4EA/(3\ell)$$

$$\Rightarrow \mathbf{K} = \frac{EA}{3\ell} \begin{bmatrix} 3 & 3 \\ 3 & 4 \end{bmatrix}$$

Calcul du vecteur des forces externes r

$$r_{1} = \int_{0}^{\ell/2} \hat{q} \left[ 1 - \frac{4x^{2}}{\ell^{2}} \right] h_{1} dx = \int_{0}^{\ell/2} \hat{q} \left[ 1 - \frac{4x^{2}}{\ell^{2}} \right] \frac{x}{\ell} dx$$

$$= \hat{q}\ell/16$$

$$r_{2} = \int_{0}^{\ell/2} \hat{q} \left[ 1 - \frac{4x^{2}}{\ell^{2}} \right] h_{2} dx = \int_{0}^{\ell/2} \hat{q} \left[ 1 - \frac{4x^{2}}{\ell^{2}} \right] \frac{x^{2}}{\ell^{2}} dx$$

$$= \hat{q}\ell/60$$

$$\Rightarrow \mathbf{r} = \frac{\hat{q}\ell}{240} \begin{cases} 15 \\ 4 \end{cases}$$

• Système d'équations  $\mathbf{K} \alpha = \mathbf{r}$ 

$$\frac{EA}{3\ell} \begin{bmatrix} 3 & 3 \\ 3 & 4 \end{bmatrix} \begin{bmatrix} \alpha_1 \\ \alpha_2 \end{bmatrix} = \frac{\hat{q}\ell}{240} \begin{bmatrix} 15 \\ 4 \end{bmatrix}$$

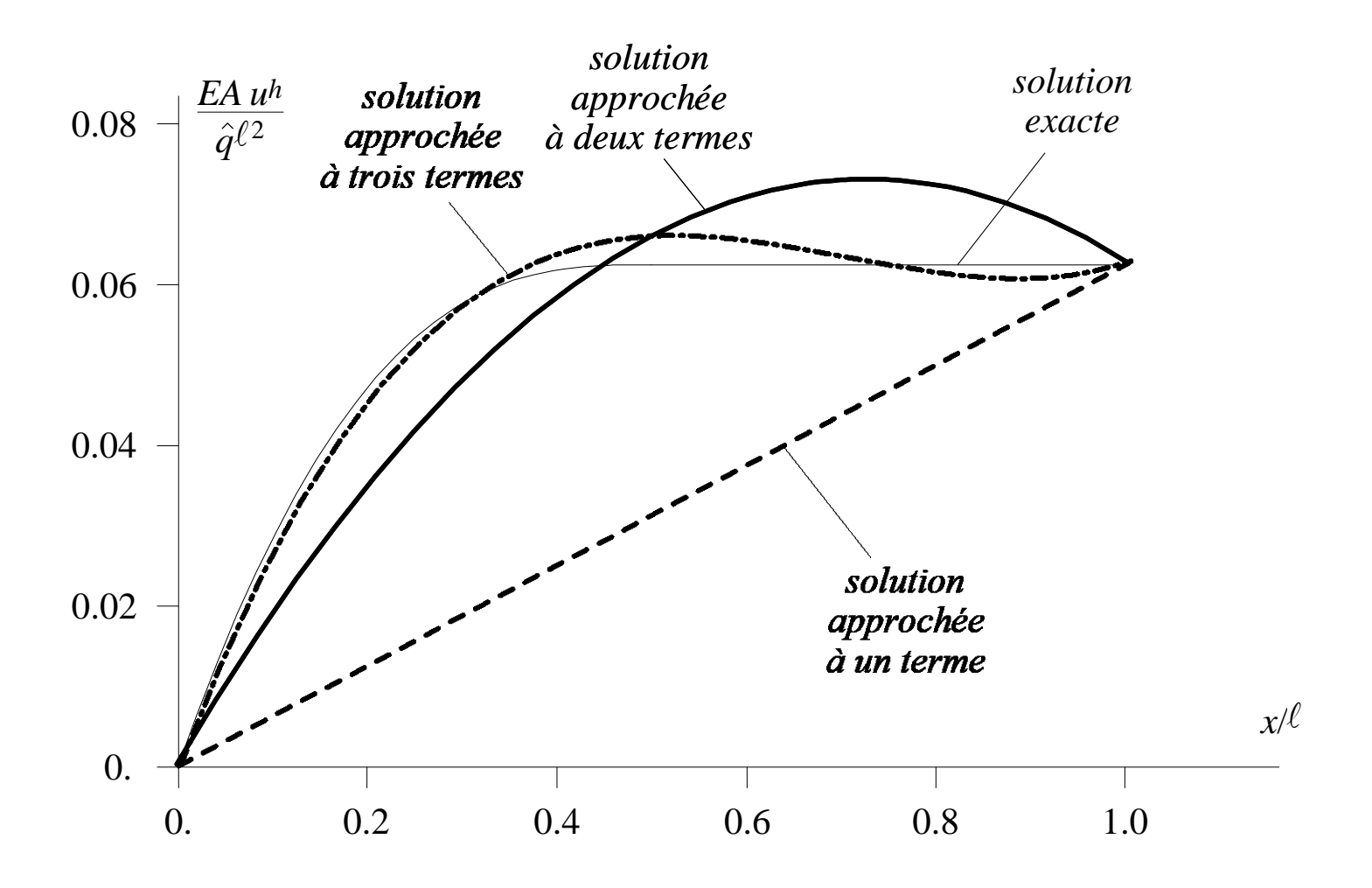
Résolution du système d'équations

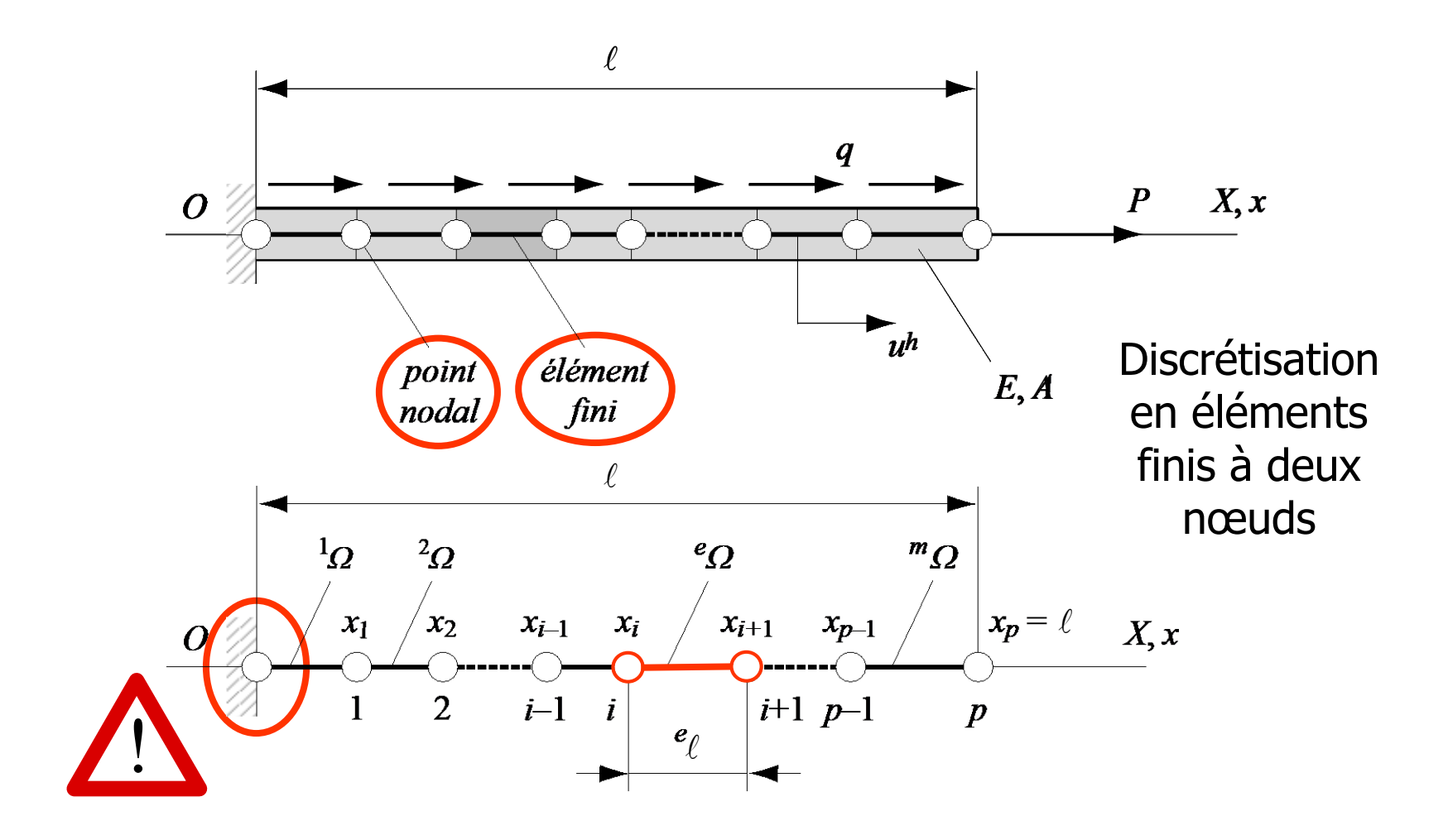
$$\alpha_1 = \hat{q}\ell^2/(5EA)$$

$$\alpha_2 = -11\hat{q}\ell^2/(80EA)$$

Solution approchée du problème

$$u^h(x) = \frac{\hat{q}\ell x}{5EA} \left[ 1 - \frac{11x}{16\ell} \right]$$





30/09/2020 -48-

• Approximation par éléments finis : association d'une fonction  $h_i(x)$  à chacun des p points nodaux

• Cas particulier

$$u^h(x) = \sum_{i=1}^p h_i(x) \ q_i = \mathbf{H}(x) \mathbf{q}$$

 $\mathbf{H} = [h_1, h_2, ..., h_i, ..., h_p]$ 

Cas particulier de la méthode de Galerkin

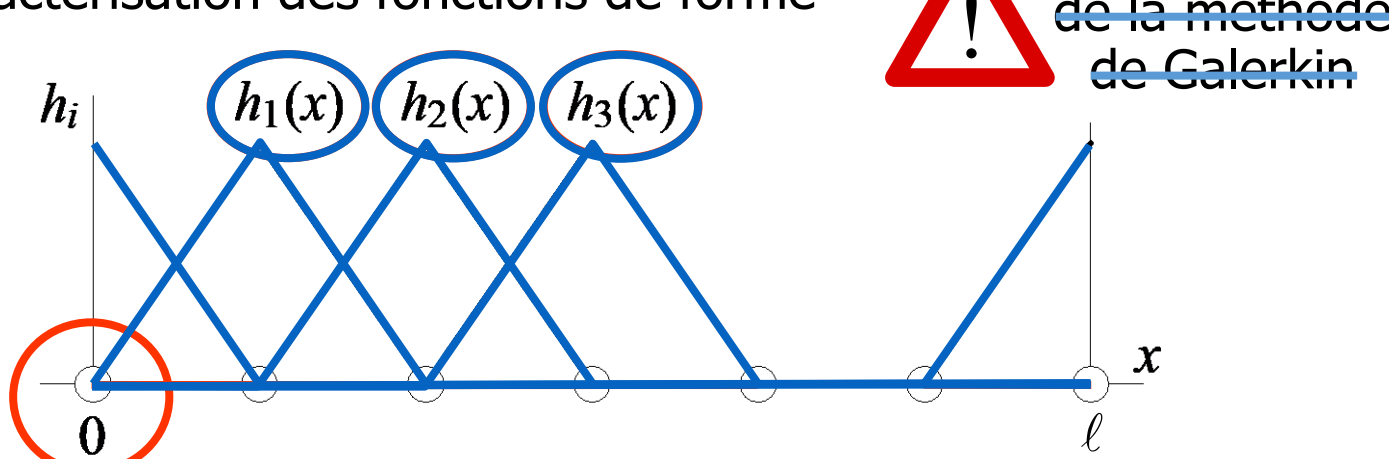
matrice  $(1 \times p)$  des fonctions de forme nodales

$$\mathbf{q} = \{q_1, q_2, ..., q_i, ..., q_p\}^{\mathrm{T}}$$
 vecteur  $(p \times 1)$  des déplacements nodaux

$$\delta u^h(x) = \sum_{i=1}^p h_i(x) \, \delta q_i = \mathbf{H}(x) \, \delta \mathbf{q}$$

Avantages de la méthode conservés

Caractérisation des fonctions de forme



Fonctions  $h_i(x)$  (i = 1, 2, ..., p) à support compact



Respect nécessaire de la condition aux limites essentielle par seule la fonction  $"h_0(x)"$ 

30/09/2020 -50-

• Choix des fonctions de forme nodale  $h_i(x)$  à support compact

$$u^{h} \in U^{h} \int_{0}^{\ell} EA(du^{h}/dx) (d\delta u^{h}/dx) dx$$

$$U^{h}(x) = \sum_{i=1}^{p} h_{i}(x) q_{i} \qquad \delta u^{h}(x) = \sum_{i=1}^{p} h_{i}(x) \delta q_{i}$$

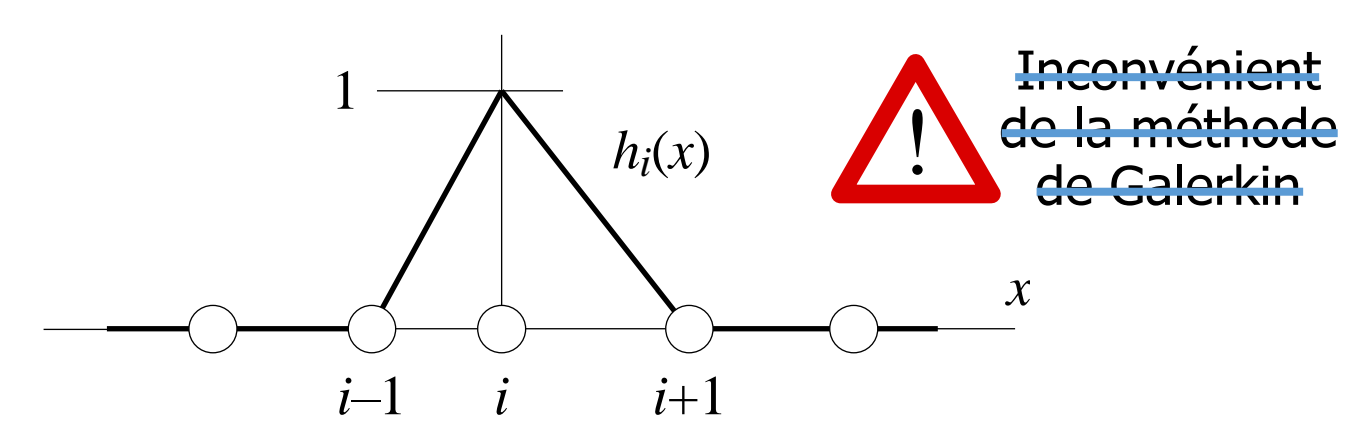
- Fonctions au moins du premier degré (polynômes)
- Fonctions suffisamment régulières
- Fonctions continues

- Critères généraux de convergence
  - Critère de complétude ou de complétion : fonctions  $h_i(x)$  affines sur les éléments, c'est-à-dire constituant une base complète permettant la représentation des états de déformation constante et les déplacements rigides
  - Critère de différentiabilité : fonctions  $h_i(x)$  suffisamment régulières à l'intérieur des éléments pour assurer que le déplacement  $u^h$  appartienne à la classe des fonctions  $U^h$
  - Critère de <u>continuité</u> : fonctions  $h_i(x)$  continues aux interfaces des éléments pour assurer la continuité du déplacement  $u^h$

30/09/2020 -52-

Caractérisation physique des inconnues (critère restreint de continuité)
 de déplacements nodaux

$$h_i(x_j) = \delta_{ij}$$
  $(i, j = 1, 2, ..., p)$   $x_j$  position du nœud  $j$ 

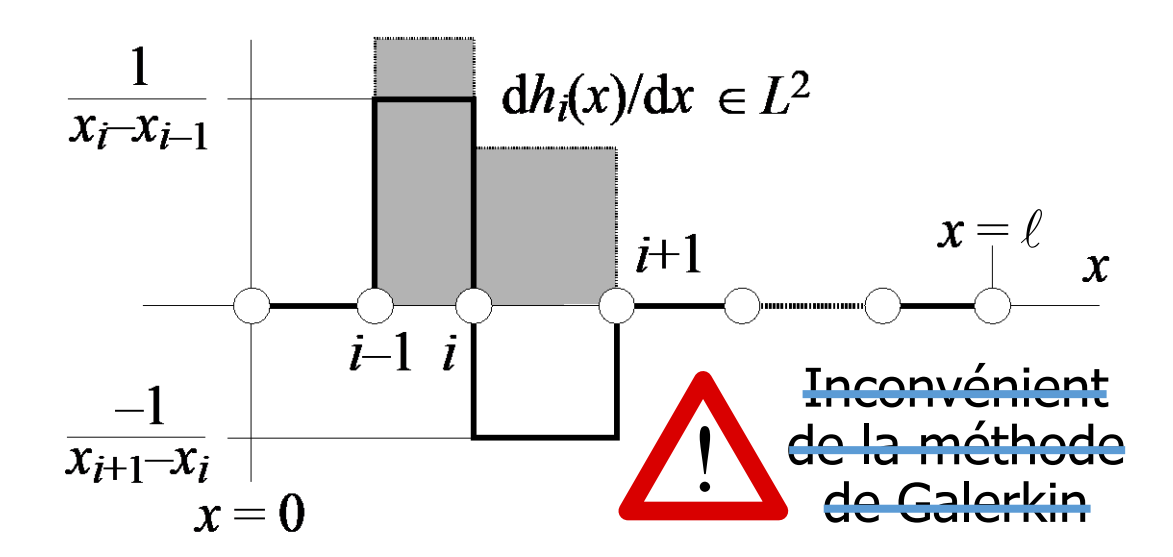


$$\Rightarrow (u^{h}(x_{j})) = \sum_{i=1}^{p} h_{i}(x_{j}) q_{i} = \sum_{i=1}^{p} \delta_{ij} q_{i} = (q_{j}) \quad (j = 1, 2, ..., p)$$

 Choix final des fonctions de forme nodales

$$h_i(x) \in H^1(]0, \ell[)$$

 $h_i(x)$  fonction linéaire prenant la valeur 1 au nœud i et 0 aux autres points nodaux



30/09/2020 --54--

Insertion de l'approximation dans la forme faible approchée

$$\int_{0}^{\ell} EA \left[ d(\mathbf{H} \ \delta \mathbf{q})^{\mathrm{T}} / dx \right] \left[ d(\mathbf{H} \ \mathbf{q}) / dx \right] dx$$

$$= \left[ \mathbf{H}(\ell) \ \delta \mathbf{q} \right]^{\mathrm{T}} P + \int_{0}^{\ell} \left[ \mathbf{H} \ \delta \mathbf{q} \right]^{\mathrm{T}} q \, dx \quad \forall \ \delta \mathbf{q}$$

$$\Rightarrow \delta \mathbf{q}^{\mathrm{T}} \left[ \int_{0}^{\ell} EA \left( d\mathbf{H}^{\mathrm{T}} / dx \right) \left( d\mathbf{H} / dx \right) dx \cdot \mathbf{q} \right]$$
matrice de rigidité  $\mathbf{K}$ 

$$- \left[ \mathbf{H}^{\mathrm{T}}(\ell) P + \int_{0}^{\ell} \mathbf{H}^{\mathrm{T}} q \, dx \right] = 0 \quad \forall \ \delta \mathbf{q}$$
vecteur des forces
$$\Rightarrow \delta \mathbf{q}^{\mathrm{T}} \left( \mathbf{K} \mathbf{q} - \mathbf{r} \right) = 0 \quad \forall \ \delta \mathbf{q}$$
appliquées  $\mathbf{r}$ 

 Système d'équations linéaires (analogue à la forme faible discrète issue du processus de Galerkin)

$$\mathbf{K}\mathbf{q}=\mathbf{r}$$

$$\mathbf{K} = \int_0^{\ell} EA \left( d\mathbf{H}^T / dx \right) \left( d\mathbf{H} / dx \right) dx \quad \text{matrice } (p \times p) \text{ de rigidité}$$

$$= \int_0^{\ell} EA \mathbf{B}^T \mathbf{B} dx$$

$$\mathbf{r} = \mathbf{H}^T(\ell) P + \int_0^{\ell} \mathbf{H}^T q dx \quad \text{vecteur } (p \times 1) \text{ des forces appliquées}$$

30/09/2020 --56--

Forme indicielle du système d'équations

$$\sum_{j=1}^{p} k_{ij} q_{j} = r_{i} \quad (i = 1, 2, ..., p)$$

$$k_{ij} = \int_{0}^{\ell} EA(dh_{i}/dx)(dh_{j}/dx) dx$$

$$r_{i} = h_{i}(\ell)P + \int_{0}^{\ell} h_{i} q dx$$

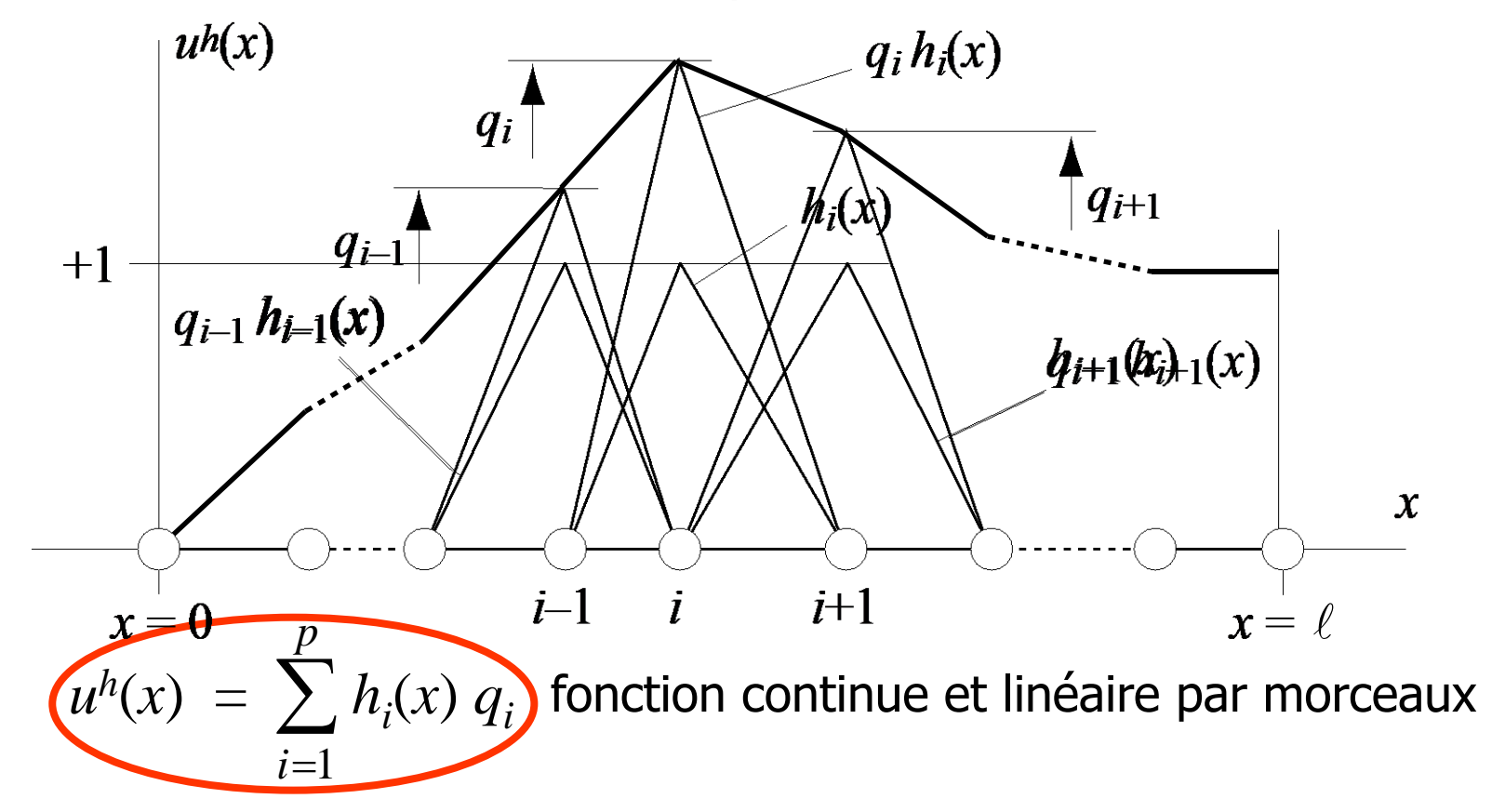


Fonctions de forme nodales  $h_i(x)$  à support compact  $\Rightarrow$  matrice  $\mathbf{K}$  éparse



Une seule fonction de forme concernée par la condition aux limites naturelle

Allure de la solution obtenue par la méthode des éléments finis



30/09/2020 -58-

## Approche globale des éléments finis : avantages et inconvénients

- Avantages de la méthode par rapport au procédé de Galerkin
  - Systématisation poussée du processus : approximation sous la forme de polynômes de faible degré continus par morceaux
  - Fonctions de forme à support compact : matrice de rigidité peu dense, condition aux limites essentielle à satisfaire par une fonction
  - Interprétation physique des inconnues : déplacements discrets
- Inconvénients de l'approche globale de la méthode des éléments finis
  - Prise en compte limitée de la compacité des fonctions de forme nodales : fonctions restant définies sur l'ensemble du domaine
  - Pas de mise à profit de l'additivité de l'intégration : intégrales calculées sur l'ensemble de domaine

30/09/2020 -59-